

Москва, 29 сентября - 1 октября



МЕЖДУНАРОДНАЯ КОНФЕРЕНЦИЯ И ВЫСТАВКА

РЕЛЕЙНАЯ ЗАЩИТА И АВТОМАТИКА ЭНЕРГОСИСТЕМ 2021

Локальные составляющие в задаче быстродействующего автоматического ввода резерва

Кочетов И.Д., Лямец Ю.Я., Макашкин Ф.А.

000 «Релематика»

Россия

Макашкин Федор Анатольевич



Последствия нарушения электроснабжения

Последствия длительного нарушения электроснабжения :

-экономический ущерб;

-нарушение непрерывности технологических процессов;

-возникновение гидравлических ударов;

-повреждения оборудования насосных станций и трубопроводов;

-возникновение пожаров.



Рис. 1. Следствие гидроудара в нефтепроводе



Наблюдаемые величины:

-в предшествующем $\underline{I}_{1 \text{пд}}, \underline{U}_{1 \text{пд}}; \underline{I}_{2 \text{пд}}, \underline{U}_{2 \text{пд}}$

-в текущем режиме $\underline{I}_{1\text{тк}}, \underline{U}_{1\text{тк}}; \underline{I}_{2\text{тк}}, \underline{U}_{2\text{тк}}$

Выделение составляющих $\underline{I}_{1aB}, \underline{U}_{1aB}; \underline{I}_{2aB}, \underline{U}_{2aB}$ чисто аварийного режима, осуществляется по формуле

$$\underline{I}_{aB} = \underline{I}_{TK} - \hat{\underline{I}}_{\Pi J}, \ \underline{U}_{aB} = \underline{U}_{TK} - \hat{\underline{U}}_{\Pi J}.$$
 (1)

В свою очередь аварийные составляющие подразделятся на два компонента — нормальный и локальный $\underline{I}_{\rm ab} = \underline{I}_{\rm лк} + \underline{I}_{\rm hm}, \ \underline{U}_{\rm ab} = \underline{U}_{\rm лk} + \underline{U}_{\rm hm}.$

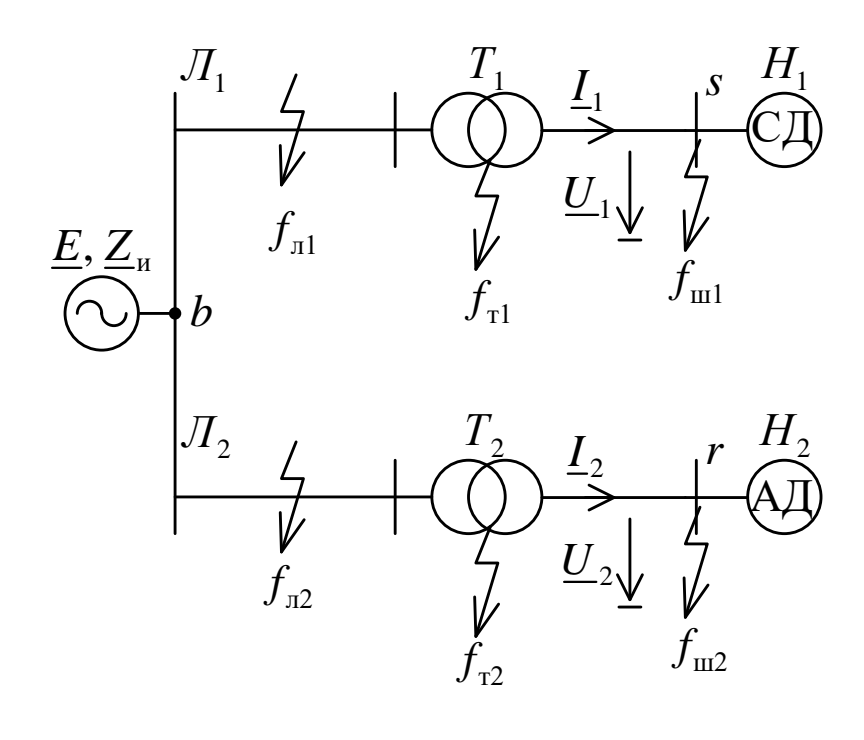


Рис. 2. Имитационная модель сети с двумя резервируемыми нагрузками



Распознавание КЗ в сети при наблюдении ее нагрузок

Информация о повреждении объекта заключена в замере (3) сформированном из локальных токов и I_{1m} I_{2m}

 $\underline{K} = \frac{\underline{I}_{1\pi K} - \underline{I}_{2\pi K}}{\underline{I}_{1\pi K} + \underline{I}_{2\pi K}}.$ (3)

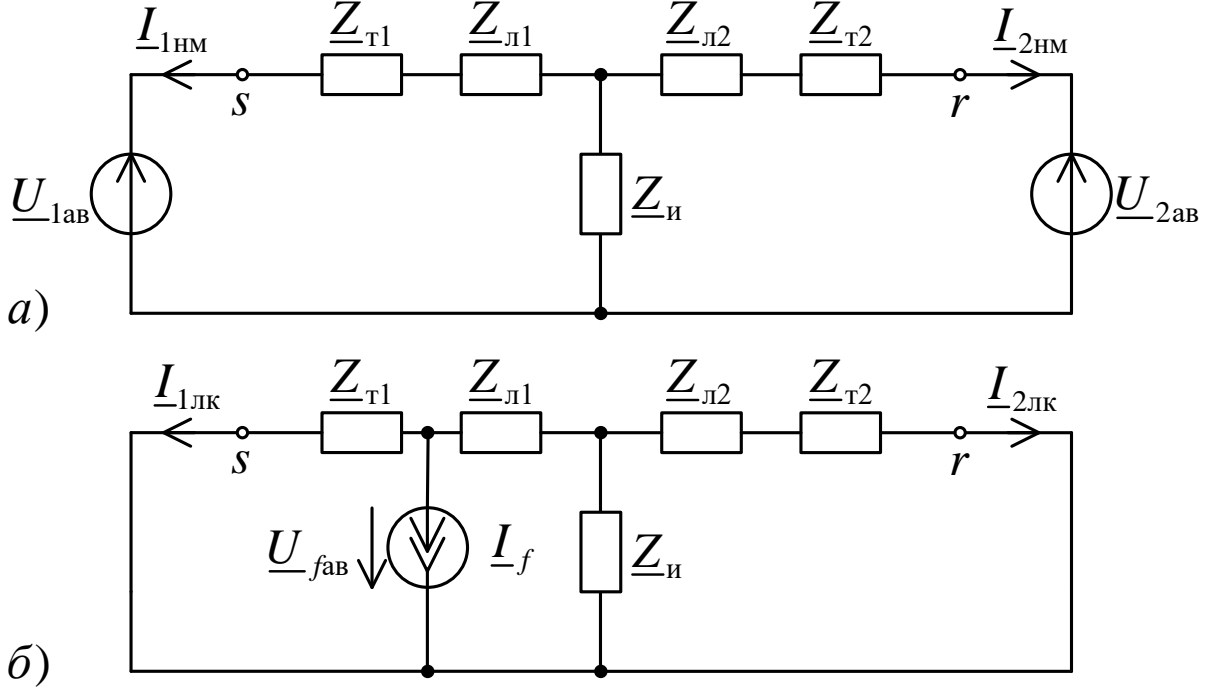


Рис. 3. Модель сети с двумя резервируемыми нагрузками а – модель нормального режима; б – модель локального режима



Априорная координатная функция замера

Априорная координатная функция замера представляет собой зависимость замера (3) от к \underline{K} орхфинаты места КЗ X_f^*

$$X_f^* = \frac{X_f}{X_{\text{Tl}} + X_{\text{Tl}} + X_{\text{T2}} + X_{\text{T2}}},$$

где X_f^- значение индуктивного сопротивления элементов цепи от точки s до произвольного места предполагаемого K3, — индуктивн X_T^+ сопротивление трансформаторов, а — линий. X_{π}^-

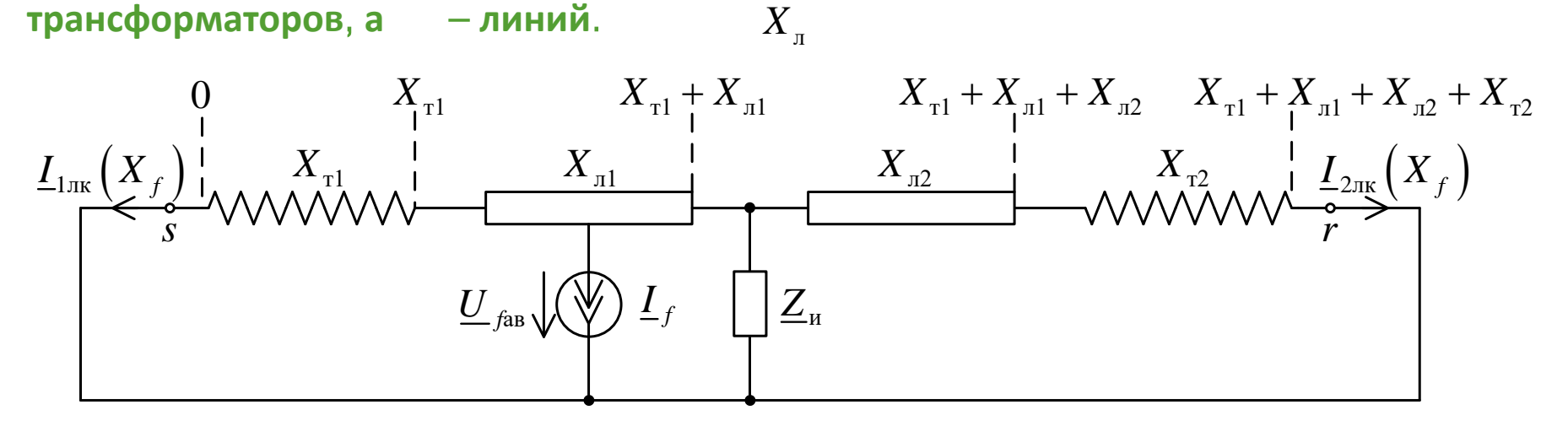


Рис. 4. Развернутая модель локального режима



Пример расчета априорной координатной функции замера

При КЗ в первой линии в месте , возникают локальные токи

$$\underline{I}_{\text{M}_{\text{JK}}}(X_f) \quad \underline{I}_{2_{\text{JK}}}(X_f)$$

$$\begin{split} \underline{I}_{1\text{\tiny{I}IK}}(x_{f1}) &= \frac{\underline{U}_{f\text{aB}}}{\underline{Z}_{\text{\tiny{T}1}} + \underline{Z}_{1}^{0} x_{f1}}, \\ \underline{I}_{2\text{\tiny{J}IK}}(x_{f1}) &= \frac{\underline{Z}_{\text{\tiny{I}I}}}{\underline{Z}^{2}(x_{f1})} \underline{U}_{f\text{aB}}, \\ \underline{Z}^{2}(x_{f1}) &= \underline{Z}_{\text{\tiny{I}I}} \Big(\underline{Z}_{1}^{0} \Big(l_{1} - x_{f1}\Big) + \underline{Z}_{\text{\tiny{I}I}2} + \underline{Z}_{\text{\tiny{T}2}}\Big) + \underline{Z}_{1}^{0} \Big(l_{1} - x_{f1}\Big) \Big(\underline{Z}_{\text{\tiny{I}I}2} + \underline{Z}_{\text{\tiny{T}2}}\Big). \end{split}$$

Тогда искомая функция замера примет вид

$$\underline{K}(x_{f1}) = \frac{\underline{Z}^{2}(x_{f1}) - \underline{Z}_{H}(\underline{Z}_{T1} + \underline{Z}_{1}^{0}x_{f1})}{\underline{Z}^{2}(x_{f1}) + \underline{Z}_{H}(\underline{Z}_{T1} + \underline{Z}_{1}^{0}x_{f1})},$$

где $x_{f1} \in (0, X_{\pi 1}).$



Тестирование алгоритма на примере реальной сети

Рассматривалась реальная сеть 110 кВ с идентичными линиями Л1 и Л2 и с идентичными трансформаторами T1 и T2. Линии двухцепные протяженностью 41.635 провода АС-120/19. KM, Трансформаторы мощностью 10 **MBA**, 110/10 кB. Нагрузка сети электродвигатели: Н1 – синхронные, Н2 – асинхронные, по два электродвигателя мощностью 2.3 МВА на каждой системе шин нагрузки.

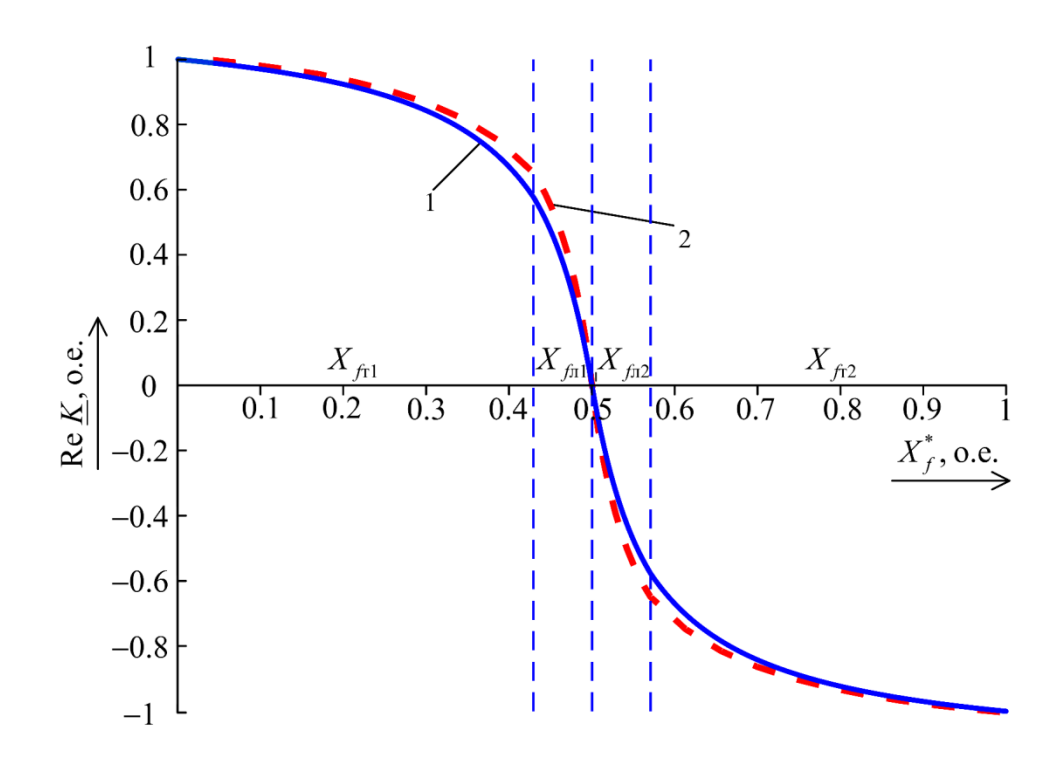


Рис. 5. Зависимость замера от координаты предполагаемого места K3
1 — априорная, 2 — имитационная



Тестирование алгоритма на примере реальной сети

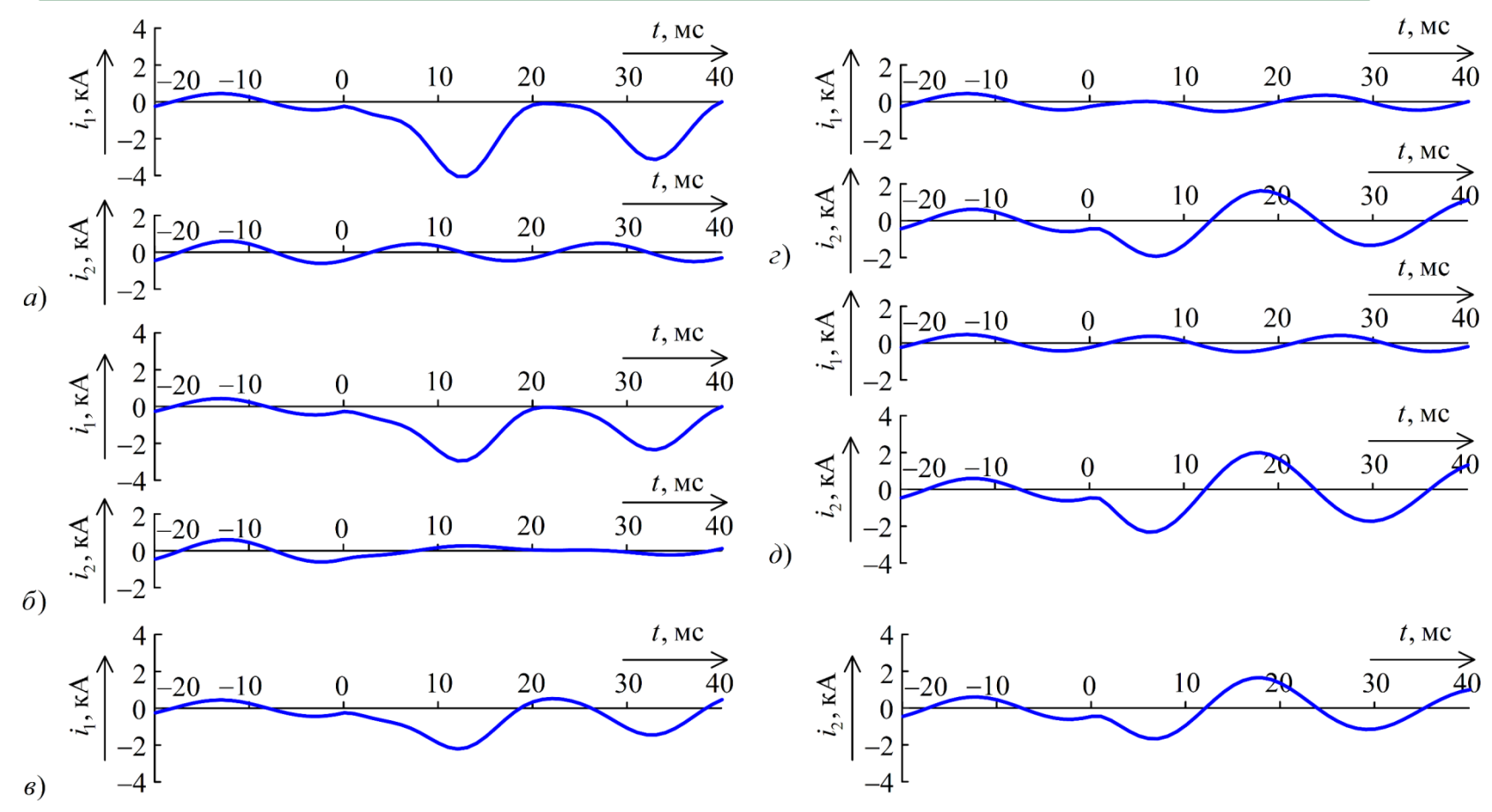


Рис. 6. Осциллограммы наблюдаемых токов металлических трехфазных КЗ в пяти местах имитационной модели: а — на выводах обмотки низшего напряжения Т1, б — в месте подключения Т1 к Л1, в — на шинах "b", г — в месте подключения Т2 к Л2, д — на выводах обмотки низшего напряжения Т2



ЗАКЛЮЧЕНИЕ

- 1) Замер инвариантен по отношению к таким изменяющимся параметрам сети, контроль которых невозможен или сопряжен с трудностями. Это переходное сопротивление КЗ; двигательная нагрузка, переходящая при КЗ в генераторный режим.
- 2) Априорная характеристика замера разделяется на три участка. Верхний и нижний соответствуют повреждению первой и второй подводящих цепей, а центральный КЗ в общей части сети. В случае КЗ на шинах нагрузки индикатором режима служит отсутствие локальных токов при заметных аварийных составляющих токов и напряжений
- 3) Обнаруженная зависимость соотношения локальных токов решает задачу распознавания повреждений в разных частях сети, питающей нагрузки и позволяет БАВР распознать, в какой из подводящих цепей произошло КЗ, и выполнить блокировку при КЗ в общей части сети, а также на шинах нагрузок.



СПАСИБО ЗА ВНИМАНИЕ!

Контакты:

Макашкин Ф.А., ООО «Релематика» makashkin_fa@relematika.ru